

О ВЛИЯНИИ СПОНТАННОГО ИЗЛУЧЕНИЯ НА КИНЕТИКУ ДЕЗАКТИВАЦИИ КОЛЕБАНИЙ АНГАРМОНИЧЕСКИХ ОСЦИЛЛЯТОРОВ

M. H. Сафарян, O. B. Скребков

(Москва)

В работе [1] детально исследовалось влияние ангармоничности колебаний на кинетические характеристики колебательной релаксации двухатомных молекул в случае, когда процесс определяется колебательно-поступательным $V - T$ -обменом. Это рассмотрение основывалось на том, что основным параметром, качественно и количественно определяющим влияние ангармоничности, является параметр адиабатичности $\xi_0 \approx \omega_0 \tau_{\text{вз}} (\omega_0 — \text{основная частота колебаний}, \tau_{\text{вз}} — \text{характерное время взаимодействия})$.

Ниже проведено рассмотрение роли ангармоничности в процессе дезактивации колебаний в зависимости от параметра адиабатичности в случае, когда к процессу $V - T$ -обмена добавляется процесс дезактивации за счет спонтанного излучения молекул. При этом все допущения по модели термического взаимодействия аналогичны использованным в [1], а радиационный эффект рассматривается в диффузионном приближении [2] для модели классических осцилляторов с линейным дипольным моментом. Поскольку возможность использования диффузионного приближения для описания радиационной дезактивации менее очевидна, чем для термической, здесь дополнительно для процесса чисто радиационной дезактивации проведено сравнение результатов классического и квантового расчетов; показана возможность использования диффузионного приближения для учета влияния многоквантовых излучательных переходов и оценена роль последних.

Результаты расчета кинетики дезактивации излучающих осцилляторов

В данном разделе кратко приведены результаты расчетов, показывающие, как изменяется роль ангармоничности в кинетике термической дезактивации при наличии спонтанного излучения осцилляторов. Ранее [2] такой расчет выполнен для частного случая неадиабатического взаимодействия осцилляторов с термостатом.

Исходным кинетическим уравнением для функции распределения $f(\varepsilon, t)$ по колебательной энергии ε служит уравнение диффузионного типа

$$\partial f / \partial t = -\partial / \partial \varepsilon \cdot (j_t + j_r), \quad (1)$$

где j_t и j_r — составляющие диффузионного потока за счет термической дезактивации и излучения соответственно. Член j_t совпадает с использованным¹ в [1], а для j_r принимается значение, введенное в [2]

$$-j_r = I(\varepsilon) f(\varepsilon, t), \quad (2)$$

¹ В [1] следует ввести поправки — заменить в формулах: (7) — множитель x^{n-1} на x^n , (8) — во втором соотношении μ/M на M/μ , формула в сноске на стр. 616 должна иметь вид $A_n = 4 n^2 |\beta r_n|^2 = 4 [(1 - \sqrt{1-x})^{2n} / x^n]$.

где $I(\varepsilon)$ — энергия, излучаемая в единицу времени осциллятором, имеющим энергию ε . Для гармонических осцилляторов и осцилляторов Морзе² [2]

$$I_{\text{то}} = \varepsilon/\tau_0, \quad I = (\varepsilon/\tau_0) \sqrt{1 - \varepsilon/D}.$$

Здесь $\tau_0 = A_0^{-1}$; A_0 — коэффициент Эйнштейна; $D = \omega_e^2/4\omega_e x_e$ — энергия диссоциации; $\omega_e x_e$ — спектроскопическая константа ангармоничности³.

Соответственно проводилось численное интегрирование следующего уравнения (подробнее см. [1, 3]):

$$\alpha \frac{\exp(-ax)}{\sqrt{1-x}} \frac{\partial \varphi}{\partial \tau} - \frac{\partial}{\partial x} \left[\frac{x \cdot \exp(-ax)}{\sqrt{1-x}} \mathcal{B}(x, \xi_0) \varphi + \alpha ax \exp(-ax) \varphi \right]. \quad (3)$$

Здесь $\varphi = f/f^\circ$, f° — равновесная функция распределения при температуре термостата T ; $a = D/kT$; $x = \varepsilon/D$; $\mathcal{B}(x, \xi_0)$ — отношение коэффициента диффузии (среднего квадрата изменения энергии в единицу времени) осцилляторов при заданном ξ_0 к его значению для гармонических осцилляторов; $\tau = t/\tau_1$, τ_1 — время релаксации средней энергии гармонических осцилляторов; $\alpha = \tau_1/\tau_0$. Границы условия соответствуют обращению в нуль при $x=0$ и 1 члена в квадратных скобках. В качестве начальных условий так же, как в [1], использовались 1) больцмановское — с температурой T_0

$$f(x, 0) = A \frac{\exp(-a_0 x)}{\sqrt{1-x}}, \quad a_0 = \frac{D}{kT_0}, \quad A = \int_0^1 f(x, 0) dx; \quad (4)$$

2) сильно инверсное распределение вида

$$f(x, 0) = A \exp[-c(x - x_m)^2]. \quad (5)$$

Влияние излучения на процесс дезактивации зависит от величины параметра α [2] (при $\alpha=0$ расчет эквивалентен [1]); рис. 1 иллюстрирует границы изменения величины $(p\alpha)$ в зависимости от температуры для ряда систем. Поскольку излучение свойственно дипольным молекулам, практический интерес представляет расчет для случая адиабатического взаимодействия. Так, на рис. 1 кривые 1 и 2 соответствуют $\xi_0 \geq 20$, а кривые 3–5–10 $\leq \xi_0 \leq 20$, т. е. большим значениям α соответствуют и большие значения ξ_0 .

Рассмотрим релаксацию средней энергии и функции распределения осцилляторов с начальным больцмановским распределением (4) (рис. 2, 3). В [1] для характеристики влияния ангармоничности на релаксацию

средней колебательной энергии $\bar{\varepsilon} = \int_0^D f(\varepsilon, t) d\varepsilon$ введена величина $g(\tau) =$

$= \tilde{\tau}_n / \tau_1$, где $\tilde{\tau}_n$ — «каждомоментное» время релаксации определяет формально величину времени релаксации в каждый момент времени. Постоянство во времени $g(\tau)$ указывает на выполнение экспоненциальной зависимости для $\varepsilon(t)$ и, напротив, отклонение $g(\tau)$ от постоянной — на степень ее нарушения. Согласно [2], для системы гармонических осцилляторов учет спонтанного излучения не нарушает экспоненциальной зависимости, но приводит к формальному уменьшению в $(1+\alpha)$ раз температуры термостата и временного масштаба процесса. Поэтому в ка-

² В [2] величина I получена для линейного по колебательной координате дипольного момента; также приближение удовлетворительно в области $(\varepsilon/D) \lesssim 0.7$.

³ Определенное таким образом значение D для HF, HCl, HBr, NO и CO равно соответственно 130, 119, 110, 171 и 248 ккал/моль.

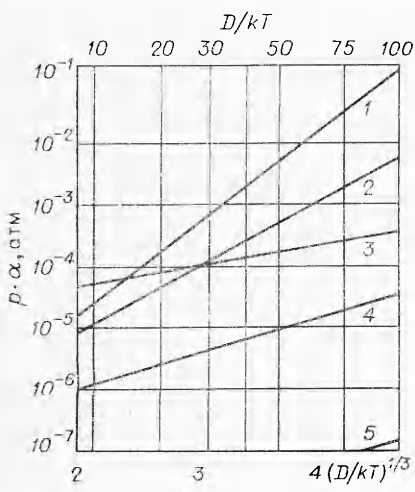


Рис. 1. Зависимость $p\alpha = p\tau_1/\tau_0$ от температуры термостата (D/kT) для различных пар сталкивающихся частиц.
 1 — HF—Ar; HF—He; 2 — HCl—Ar;
 HBr—Ar; 3 — NO—Ar; 4 — CO—He; 5 —
 CO—Ar.

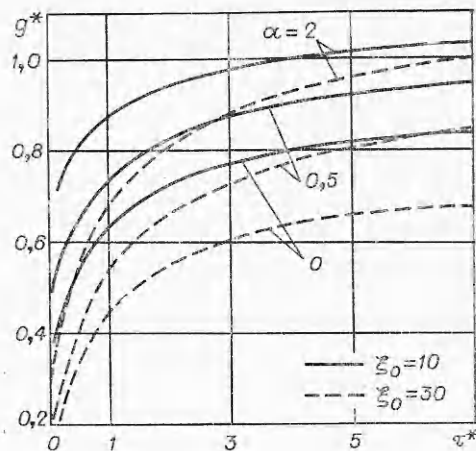


Рис. 2. Зависимость g^* от τ^* при различных значениях α и ξ_0 ($\tau^* = t/\tau_1 = t(1+\alpha)/\tau_1$);
 $D/kT_0 = 7$; $D/kT = 40$.

честве соответствующих аналогов для величин g и τ при наличии излучения нужно принять

$$g^*(\tau^*) = \frac{\tau_k^*}{\tau_1^*}, \quad \tau^* = (1 + \alpha)\tau = \frac{t}{\tau_1^*},$$

где τ_1^* — время релаксации средней колебательной энергии $\bar{\varepsilon}$ для излучающих гармонических осцилляторов; $\tau_k^* = t/\ln \frac{\bar{\varepsilon}_0 - \bar{\varepsilon}^*}{\bar{\varepsilon}(t) - \bar{\varepsilon}^*}$ — «каждомоментное» время релаксации системы излучающих ангармонических осцилляторов; $\bar{\varepsilon}^* = \bar{\varepsilon}$ при $t \rightarrow \infty$. Из рис. 2 видно, что так же, как при $\alpha=0$, $\bar{\varepsilon}(\tau^*)$ наиболее отличается от экспоненциальной зависимости в начальной стадии кинетического процесса ($\tau^* < 1$); с увеличением τ^* $g^* \rightarrow g^*(\infty) = \text{const}$. Практически $g^* \sim g^*(\infty)$ при $\tau^* \geq 5$, т. е. при $t \geq 5\tau_1/(1+\alpha)$ релаксация $\bar{\varepsilon}$ идет по экспоненциальному закону. С ростом α предельное значение $g^*(\infty)$ несколько возрастает и при некоторых значениях⁴ α , ξ_0 и T переходит через $g^* = 1$ (при $g^* = 1$, $\tau_k^* = \tau_1^*$, и влияние ангармоничности минимально).

Рис. 3 иллюстрирует влияние излучения на релаксацию функции распределения (4). Из него также следует, что при $\xi_0 \gg 1$ излучение уменьшает влияние ангармоничности. Этот эффект про-

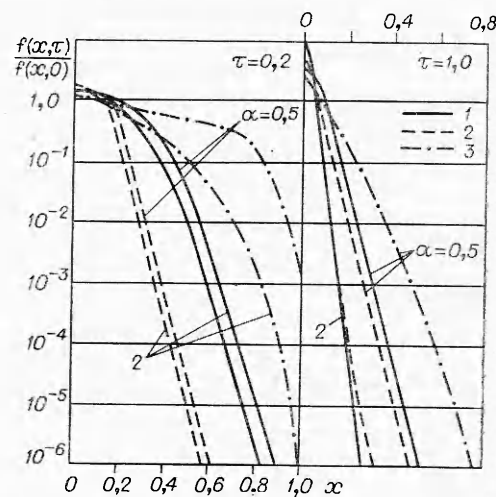


Рис. 3. Зависимость $f(x, \tau)/f(x, 0)$ в процессе дезактивации ($\tau = t/\tau_1$); $D/kT_0 = 7$,
 $D/kT = 40$.
 1 — $\xi_0 = 10$; 2 — $\xi_0 = 30$; 3 — гармонический осциллятор.

⁴ ξ_0 и α также зависят от T .

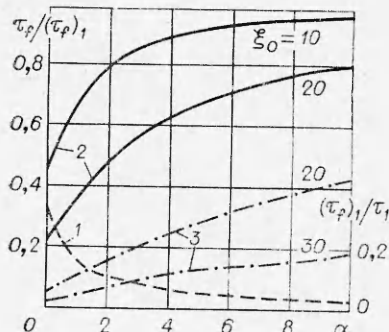


Рис. 4. Характерное время релаксации функции распределения при $x=x_m$ для системы ангармонических осцилляторов (τ_f) и гармонических осцилляторов (τ_1) в единицах τ_1 .

1 — гармонический осциллятор; ангармонический осциллятор: 2 — $c=107$, $x_m=0,275$; 3 — $c=57$, $x_m=0,5$.

дезактивации в целом уменьшается, и влияние излучения (на рис. 3 при $\tau=1$ кривые, соответствующие различным ξ_0 , но одинаковым α , сближаются и тем сильнее, чем больше α). Для моментов $\tau \leq 1/\alpha$ излучение слабо влияет на зависимость эффекта ангармоничности от значения параметра ξ_0 : на рис. 3 различие между кривыми с разными ξ_0 не изменяется с ростом α .

Влияние излучения в случае начального распределения вида (5) иллюстрируют рис. 4, 5. Для конкретности расчеты приведены для параметров: а) $c=107$, $x_m=0,275$, что соответствует распределению, возникающему в реакции [4] $O+CS \rightarrow CO^*+S$; б) $c=57$, $x_m \approx 0,5$ — в реакции [5] $H+F_2 \rightarrow HF^*+F$.

Практически интересной характеристикой релаксации инверсного распределения является характерное время τ_f , изменения $f(x_m, \tau)$ — время, за которое начальное значение функции $f(x_m, 0)$ уменьшается в e раз ($(\tau_f)_1$ — значение τ_f для гармонических осцилляторов). Из рис. 4 видно, что с ростом α различие между τ_f и $(\tau_f)_1$ уменьшается; влияние излучения на характерное время τ_f уменьшается с ростом x_m и ξ_0 , т. е. с увеличением роли ангармоничности колебаний. Так, при увеличении α от 0 до 10 для кривых 1—3 τ_f уменьшается соответственно в 12, 5, 6, 3 и 1, 3 раза.

Для оценки влияния излучения на релаксацию можно использовать величину χ — долю излучаемой энергии от общей, теряемой в процессе дезактивации, которая наиболее просто рассчитывается в начальные моменты времени, $t < \tau_f$; зависимость $\chi = \chi |_{t < \tau_f}$ от α показана на рис. 5. Из рисунка следует, что относительный вклад излучения в процесс дезактивации уменьшается с ростом влияния ангармоничности колебаний (с увеличением ξ_0 и значения энергетической координаты пика на-

тивоположен случаю $\xi_0 \ll 1$, рассмотренному в [2], что нетрудно объяснить: ангармоничность замедляет процесс чисто радиационной дезактивации, а для термической дезактивации ускоряет при $\xi_0 \gg 1$ и замедляет при $\xi \ll 1$, поэтому при $\xi_0 \ll 1$ излучение усиливает, а при $\xi_0 \gg 1$ — уменьшает эффект ангармоничности. Процесс дезактивации излучающих ангармонических осцилляторов для $\xi_0 \gg 1$ идет со значительной, хотя и меньшей по сравнению с неизлучающими осцилляторами, относительной «недозаселенностью» высоковозбужденных состояний. Эта «недозаселенность» тем больше, чем больше ξ_0 . С увеличением τ практически при $\tau > 1/\alpha$ влияние характера взаимодействия осцилляторов с частицами термостата (величины ξ_0) на процесс

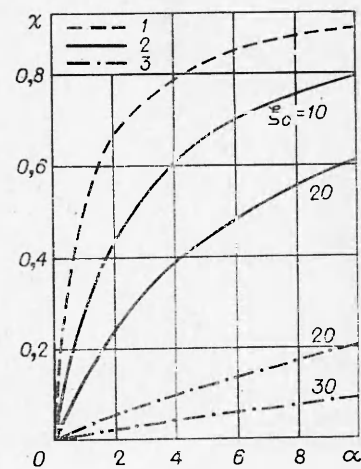


Рис. 5. Доля колебательной энергии, теряемая молекулами за счет излучения в начальной стадии процесса дезактивации инверсного распределения (5) в зависимости от α .

1 — гармонический осциллятор; 2 — $c=107$; $x_m=0,275$; 3 — $c=57$, $x_m=0,5$.

чального распределения — x_m)⁵. С ростом τ по мере сдвига пика распределения в область меньших энергий и, следовательно, с уменьшением роли ангармоничности относительное влияние излучения будет увеличиваться (см. рис. 5).

Сравнение результатов классического и квантовомеханического расчетов кинетики радиационной дезактивации ангармонических осцилляторов

Выше для учета радиационной дезактивации использовалось диффузионное описание, поскольку такой способ можно применить и в других задачах, полезно выяснить степень его приближения к точному квантовому расчету. В данном разделе проведено последовательное сравнение результатов классического (диффузионного) и квантового расчетов процесса радиационной дезактивации осцилляторов Морзе.

Исходным диффузионным уравнением служит [2]:

$$\partial f / \partial t = 1/\tau_0 \cdot \partial / \partial x \cdot (x\sqrt{1-x}f). \quad (6)$$

Система квантовых уравнений для f_i -заселенности i -го уровня имеет вид

$$\frac{\partial f_i}{\partial t} = - \sum_{k=0}^{i-1} A_{ik} f_i + \sum_{k=i+1}^N A_{ki} f_i, \quad (7)$$

где A_{ik} — вероятность радиационного перехода осциллятора с i -го на k -й уровень. Для осцилляторов Морзе [6]

$$A_{ik} \simeq \frac{1}{\tau_0} \frac{\omega_{ik}}{\omega_0} \frac{i!}{k!} \frac{(2N-i-1)!}{(2N-k-1)!} \frac{(2N-2k-1)(2N-2i-1)}{2N-3}, \quad (8)$$

где $N=2 \cdot D/\omega_0=\omega_0/2\omega_e x_e$ — полное число уровней осциллятора Морзе; ω_{ik} — частота перехода $i \rightarrow k$.

Система (7) с (8) решалась численно, а для уравнения (6) использовалось аналитическое решение (см. формулы (10), (11) в [2]). Для оценки влияния многоквантовых радиационных переходов и их учета в классическом расчете система (8) решалась также при условии пренебрежения многоквантовыми переходами, т. е. при условии $A_{ik}=0$, если $|k-i|>1$.

Для релаксации начального бульмановского распределения (4) результаты расчетов приведены на рис. 6, откуда следует⁶ (ср. кривые 1 и 2), что при $N \geq 80$ классическая модель достаточно точно описывает процесс независимо от величины начальной колебательной температуры T_0 . С уменьшением N и T_0 различие величин $\Psi_{\text{кв}} = \frac{f_i(x, \tau')}{f_i(x, 0)}$ и $\Psi_{\text{кл}} = \frac{f(x, \tau')}{f(x, 0)}$ ($\tau' = t/\tau_0$) увеличивается, однако при $a_0 \leq 10$ классическая модель дает вполне удовлетворительное описание процесса радиационной дезактивации даже при $N=20$. В данном случае (бульмановское начальное распределение) критерием «классичности» системы формально может служить условие $\omega_0/kT \leq 1$. При выполнении этого условия $\Psi_{\text{кл}}$ отличается от $\Psi_{\text{кв}}$ по величине не более чем на $\pm 10\%$ в области энергий возбуждения, удовлетворяющей соотношению $\frac{1 - \sqrt{1 - x}}{1 + \sqrt{1 - x}} e^{\tau'} < 1$

⁵ Для гармонических осцилляторов величина χ не зависит от вида начального распределения (величин c и x_m).

⁶ На рис. 6, 7 для квантовых осцилляторов энергия отсчитывается от энергии нулевого уровня.

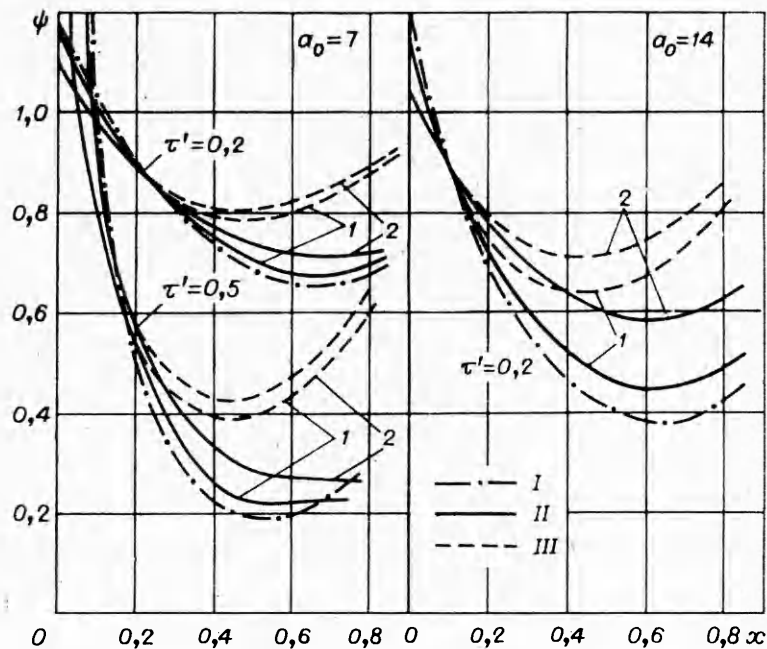


Рис. 6. Функция $\Psi = f(x, \tau') / f(x, 0)$ в процессе радиационной дезактивации начального больцмановского распределения в моменты $\tau' = t/\tau_0 = 0,2$ и $0,5$ ($D/kT_0 = 7$) и $\tau' = 0,2$ ($D/kT_0 = 14$).

I — классический расчет; квантовый расчет: II — многоквантовый, III — одноквантовый. I — $N=80$; 2 — $N=20$.

(область отличного от нуля решения (6)). Сравнение классического расчета и результатов, полученных в одноквантовом приближении, с полным многоквантовым расчетом показывает, что классическая модель лучше, чем одноквантовое приближение, описывает поведение функции распределения для возбужденных состояний. Одноквантовый расчет практически дает такой же результат, как многоквантовый, в области энергий $x \leq 0,15$.

Расчеты для инверсного распределения (5) для $N=80$ и 20 показывают, что в обоих случаях классическая модель позволяет достаточно точно определять как энергетическую координату пика распределения, так и его высоту в начальные моменты времени $\tau' \leq 0,1$. (Следует отметить, что при релаксации инверсного распределения наибольший интерес представляет именно начальная стадия процесса). Координата максимума распределения по энергии в обоих вариантах расчета практически совпадает в течение всего процесса. Это обстоятельство позволяет с помощью классической модели правильно определить поведение средней энергии системы $\bar{\varepsilon}$, поскольку ее величина при наличии острого максимума функции распределения определяется в основном значением координаты этого максимума.

Последнее иллюстрируется рис. 7. Из рисунка также ясно видно, что лучше использовать классический вариант, чем одноквантовое приближение квантового расчета.

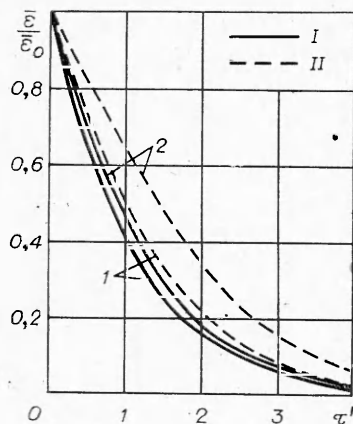


Рис. 7. Средняя колебательная энергия, отнесенная к своему значению при $t=0$, в зависимости от $\tau' = t/\tau_0$.

1 — начальное распределение (5) с $c=107$, $x_m=0,275$, $N=80$; 2 — начальное распределение (5) с $c=57$, $x_m=0,5$, $N=20$. I — классический и квантовый расчет (многоквантовый); II — квантовый расчет (одноквантовый).

В заключение отметим, что наличие спонтанного излучения в случае адиабатического взаимодействия ($\omega_0 \tau_{ss} \gg 1$) уменьшает влияние ангармоничности колебаний на релаксацию двухатомных молекул в среде инертного газа. Относительный вклад спонтанного излучения в процесс дезактивации (термической плюс радиационной) при заданном $\alpha = \tau_1/\tau_0$ быстро уменьшается с ростом влияния ангармоничности, т. е. с увеличением параметра адиабатичности, начальной колебательной температуры больцмановского распределения или энергетической координаты пика распределения начального инверсного распределения.

Сравнение классического и квантовомеханического способов расчета показывает, что при описании процессов радиационной дезактивации классический расчет в диффузионном приближении дает достаточно точный результат для систем с $N \gg 1$ ($N > 20$); для $N \geq 20$ он предпочтительнее одноквантового приближения квантового расчета. Для процесса радиационной дезактивации начального больцмановского распределения критерием «классичности» системы может служить условие $(\omega_0/kT_0) \leq 1$.

Поступила в редакцию
11/X 1976,
после доработки — 7/I 1977

ЛИТЕРАТУРА

1. М. Н. Сафарян, О. В. Скребков. ФГВ, 1975, **11**, 4.
2. М. Н. Сафарян. ПМТФ, 1972, 4.
3. М. Н. Сафарян, О. В. Скребков. Препринт ИПМ АН СССР, М., 1974.
4. N. Dieu. J. Chem. Phys., 1974, **60**, 4109.
5. N. Jonathan, S. Okuda, D. Timlin. Mol. Phys., 1972, **24**, 1143.
6. H. S. Heaps, G. Herzberg. Zs. Phys., 1952, **123**, 48.

ТЕРМОГРАФИЧЕСКОЕ ИССЛЕДОВАНИЕ КИНЕТИКИ ОКИСЛЕНИЯ ЦИРКОНИЯ НА ВОЗДУХЕ

B. A. Грива, B. I. Розенбанд

(Черноголовка)

Для исследования воспламенения металлов в газообразной окислильной среде необходимо изучение кинетики реагирования металлов с газами. Обычно для этих целей применяются гравиметрические или волюметрические методы, в которых за протеканием химической реакции следят по изменению веса исследуемого образца или количеству поглощенного газа в изотермических условиях. В последнее время для этих целей применяются некоторые неизотермические термографические методы, основанные на программированном нагревании электрическим током тонких металлических нитей в потоке газообразного окислителя или определении кинетики по данным реакционного разогрева при различном предварительном нагреве реагентов [1, 2].

В данной работе на примере реакции окисления циркония на воздухе исследуется кинетика гетерогенной поверхностной реакции для системы металл — газ, используется метод дифференциального термического анализа (ДТА) с применением метода «теплового разбавления» [3]. «Тепловое разбавление», при котором исследуемое вещество помещается в металлический блок-разбавитель, позволяет максимально